

オゾン処理による各分野への応用技術の開発

隈部 信之

株式会社レボル オゾンパーマ事業部

株式会社 Zemis 環境浄化機器開発部

(本文)

近年オゾン処理技術の様々な分野での活躍が期待されております。

美容業界において髪の毛にオゾン処理することにより、髪質が良くなる、パーマがかけやすくなるなどの効果が経験的に得られていますが、その効果詳細は分かっておりません。

そこで今回は、九州大学クリーン実験ステーションの原子間力顯微鏡観察に基づいて、そのメカニズムの解析を行い、さらに発展したオゾン処理の施工技術の開発へ向けて研究開発を進めております。

また水処理分野においてオゾンの酸化力を生かした浄化技術の開発も期待されております。オゾンをマイクロバブル化、ナノバブル化することによりいつそうの効果を高め、かつ安全に適正に使用することにより、幅広く水処理技術に応用できるよう開発を行っております。

弊社として今後オゾン処理技術、マイクロナノバブル技術、純水製造装置などのフィルター濾過技術などを用いて、環境考慮型の次世代へつなぐ技術として、美容業界、食品業界、農業、漁業業界への参入を目的とし、九州大学クリーン実験ステーションと共に研究開発を進めて行く予定です。

オゾン処理による各分野への応用技術の開発

隈部 信之
株式会社レボル オゾンバーマ事業部
株式会社Zemis 環境浄化機器開発部

背景と目的

近年オゾン処理技術のさまざまな分野での活躍が期待されております。美容業界において髪の毛にオゾン処理することにより、髪質がよくなる、ハマがかけやすくなるなどの効果が経験的に得られていますが、その効果の詳細はわかつておりません。そこで今回は、九州大学クリーン実験ステーションの原子間力顕微鏡を基に、そのメカニズムの解析を行って、さらに実験したオゾン処理の施工技術の開発に向けて研究開発を進めております。また水処理分野においてオゾンの活性力を生かした浄化技術の開発も期待しております。オゾンをマイクロバブル、ナノバブル化することにより、いそゞみ効果を高め、洗浄効率を向上させることにより、幅広く水処理技術に応用できるよう開発を行っております。

実績報告①

利用機器名:オゾンバーマの効用とそのメカニズムの解明

結果測定を行った試料は、通常バーマ液(回)バーマをかき毛、及びオゾンを使用(回)バーマ処理をおこなつ毛髪である(写真1)。



写真1 测定した毛髪の通常バーマ液処理とオゾンバーマ液処理これらの方法が原子間力顕微鏡で観察した結果を図2に示す。

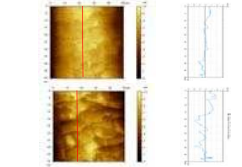


図2(a) 通常バーマ液処理した毛髪のAFM像結果(a)AFM像、(b)ラインプロファイル
オゾンバーマ液処理した毛髪のAFM像結果(c)AFM像、(d)ラインプロファイル
AFM像は $50 \times 50 \mu\text{m}^2$ の範囲を行った。図2(b)より通常バーマ液処理時のキューティクルの形状がガタついていることが分かる。赤線で示す部分のラインプロファイル(図2(b))より、各キューティクルの高さは約1.1μm程度で、オゾンバーマ液処理した毛髪の高さは約1.0μm程度で、AFM像測定から毛髪表面のラフネスは約2.0μm程度である。AFM像測定から毛髪表面のラフネスは約2.0μm程度である。

図2(c)はオゾンバーマ液処理した毛髪のAFM像状態である。これは先までの通常バーマ液を用いたものと比べキューティクルの形状はほとんど同じである。赤線のラインプロファイル(図2(d))より、キューティクルの高さは1.1μmから大きくなり2.2μmの高さが観察される。キューティクルエンゲル部はごくまどりかすり込まれて角が取れてしまう丸まづの形状をしていることが分かる。オゾン処理を行った毛髪表面のラフネスは約2.0μmであり、外見上と通常バーマ液よりも角があるラフネスが大きいことが分かる。

統べて、図2(a)(b)より示す青線部のラインプロファイルをフーリエ解析した結果を図3(a)に示す。

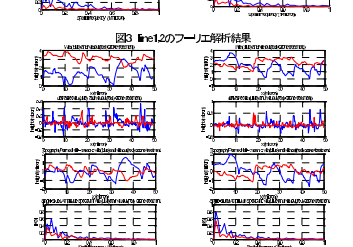
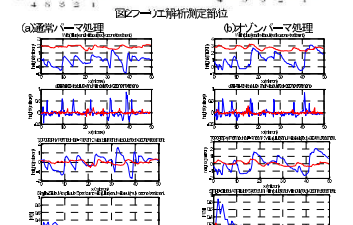
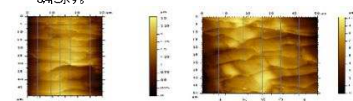


図3より最下部のグラフである空間周波数分布をみると、すべて低周波側にピークが表れているが、ピーク周波数は通常バーマ液を使用したものの方が低い表れておりこれが分かる。

今後の方針

弊社では、今後オゾン処理技術、マイクロナノバブル技術、純水製造装置などのフィルターモード技術などを用いて、環境考慮型の次世代へつなぐ技術として、美容業界、食品業界、農業、漁業業界への参入を目的とし、九州大学クリーン実験ステーションと共に研究開発を進めていく予定です。

実績報告②

目的:毛髪に対して、処理無、バーマ液処理、オゾン液処理をおこなつ場合の比較

処理無の毛髪は原子間力顕微鏡(AFM)で測定したAFM像及び、各AFM像中の赤線部のラインプロファイルを図1(a)に示す。AFM像は $30 \times 30 \mu\text{m}^2$ の範囲(図1(a))で、毛髪の高さを $20 \mu\text{m}$ に拡大したものを図1(b)である。(a)(b)(c)

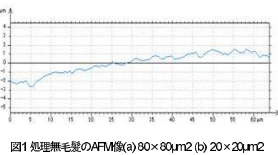
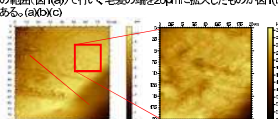


図1(b)のAFM像より、毛髪の表面の端のキューティクル面が確認できる。各層約2.6μm程度である。

次にバーマ液処理を行った毛髪断面のAFM像を図2に示す。

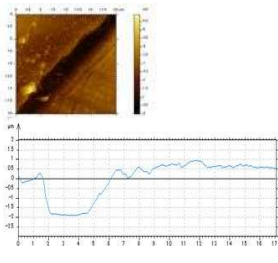
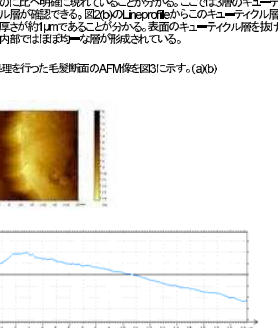


図2(b) バーマ液処理を行った毛髪の表面の端のキューティクル層が確認できる。

次に、オゾン処理を行った毛髪断面のAFM像を図3に示す。(a)(b)



このAFM像においても毛髪表面のキューティクル層が確認できる。最高表面凹凸は明確であるが内部の毛髪層は薄くあまり明確には確認しづらい。Line profileより表面のキューティクル層は厚度約1.1μm、次第に内側は約0.5μmに最表面層より薄くなることが分かる。

実績報告③

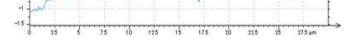
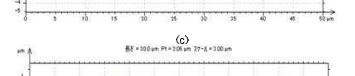
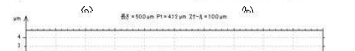
目的:毛髪に対して、バーマ液処理および、オゾン液処理を実施し、毛髪細胞構造変化の観察を行つ。

内容: 同毛髪を2枚のフレームに固定後(回1)各部位にて洗ったものを走査型コロナ顕微鏡で観察した。



部材 $30 \times 30 \mu\text{m}^2$ の範囲に拡大して示した例である。Aはバーマ液で処理した毛髪である。Bはオゾン液で処理した毛髪のAFM像及びラインプロファイルである。毛髪表面は鏡面に重ねたキューティクル層が約10μm程度である(図1(a),(b))。また、大きくなつてはエジング部の段差が2μm程度である。图1(b)は異なる

部材 $30 \times 30 \mu\text{m}^2$ の範囲に拡大して示した例である。Aはバーマ液で処理した毛髪である。Bはオゾン液で処理した毛髪のAFM像及びラインプロファイルより、各キューティクルの段差は平均1μm程度であることが分かる。またエジング部において所々凹凸があり、オゾン液で処理した毛髪表面は鏡面に重ねたキューティクル層が存在し、今回定義した毛髪のキューティクルが約10μm程度である(図1(a),(b))。また、大きくなつてはエジング部の段差が2μm程度である。

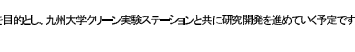
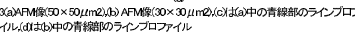
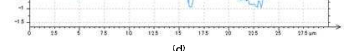


次に、オゾン液処理を行った毛髪のAFM像結果(a)AFM像、(b)AFM像 $30 \times 50 \mu\text{m}^2$ のLine profile、(c)AFM像 $30 \times 30 \mu\text{m}^2$ のLine profile、(d)AFM像 $30 \times 50 \mu\text{m}^2$ のLine profile。

次に、オゾン液処理を行った毛髪のAFM像結果を図3(a)に示す。図3(a)は $50 \times 50 \mu\text{m}^2$ の範囲で測定した例である。この像では、こちらの像では全体的にキューティクル層が確認できる。図3(b)のLine profileからこのキューティクル層の厚さが約1.1μmであることが分かる。表面のキューティクル層を抜ける内側ではほぼ均一な滑らかな層が確認されている。



次に、オゾン液処理を行った毛髪のAFM像結果を図3(a)に示す。図3(a)は $50 \times 50 \mu\text{m}^2$ の範囲で測定した例である。この像では、こちらの像では全体的にキューティクル層が確認できる。図3(b)のLine profileからこのキューティクル層の厚さが約1.1μmであることが分かる。表面のキューティクル層を抜ける内側ではほぼ均一な滑らかな層が確認されている。



次に、オゾン液処理を行った毛髪のAFM像結果を図3(a)に示す。図3(a)は $30 \times 30 \mu\text{m}^2$ の範囲で測定した例である。この像では、こちらの像では全体的にキューティクル層が確認できる。表面のキューティクル層を抜ける内側ではほぼ均一な滑らかな層が確認されている。

